



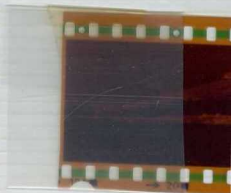
1942-IB-GD-606

Aspecto general de las dolomías kakiríticas ($T_{A_{2-3}\Delta 4}$) del manto de Trevenque en la central eléctrica de Dílar.



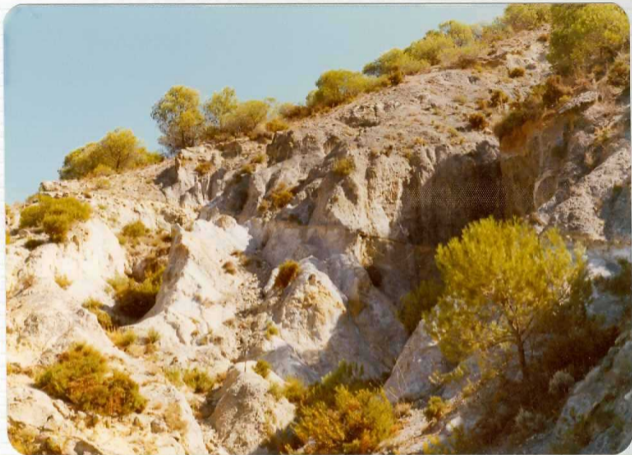
1942-IB-GD-607

La intensa trituración de las dolomías ($T_{A_2-3\Delta 4}$) en las proximidades de las fallas de borde de la depresión de Padúl³-Lecrín, facilitan su uso para la obtención de gravas, bovedillas y vigas para construcción. En la foto un aspecto de una de las varias fábricas de este sector.



1942-IB-GD-608

Aspecto parcial del contacto entre los materiales alpujárrides (dolomías en la fotografía) con el conglomerado basal ($T_{11}^{BC ds}$) calizo mioceno. El Puntal.



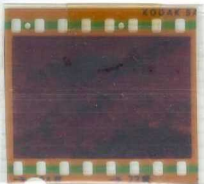
1942-IB-GD-609

Aspecto de una falla inversa de vergencia sur en el interior de la formación carbonatada ($T_{A_{2-3}C^2}$) ($T_{A_{2-3}\Delta 4}$) del manto de Trevenque (al O de La Silleta)



1942-IB-GD-610

Aspecto ruiforme típico de las dolomías kakiríticas ($T_{A_{2-3}\Delta 4}$) del man-
to de Trevenque en El Puntal de Padul.



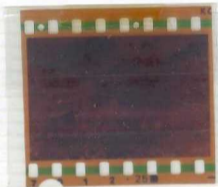
1942-IB-GD-611

Aspecto de conjunto de una intercalación de calizas tableadas y calcoes quistosos en las proximidades de la anterior.



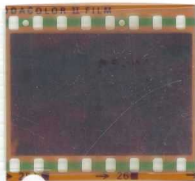
1942-IB-GD-612

Aspecto de las canteras de grava dolomítica de "El Aguadero" de El Padul;
dolomías brechoides del manto de Trevenque ($T_{A_{2-3}^{\Delta 4}}$)



1942-IB-GD-613

Aspecto de la falla de Marchera vista desde El Zahor (Carretera Bailén-Motril)



1942-IB-GD-614

Aspecto general de La Silleta por su cara sur. Dolomías kakiríticas
($T_{A_{2-3}\Delta 4}$) del manto de Trevenque.



1942-IB-GD-615

Aspecto de la falla de Padul al N del pueblo vista desde
Marchena



1942-IB-GD-6161

Pequeña fosa tectónica de detalle en las calizas y dolomías
($T_{A_{2-3}C^2}$) ($T_{A_{2-3}\Delta 4}$) de El Puntal. Manto de Trevenque



1942-IB-GD-617

Aspecto general de la falla de El Puntal-Padul vista desde -
la carretera a Almuñécar por el Suspiro del Moro.



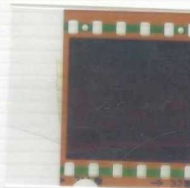
1942-IB-GD-618

Aspecto general de la cara norte de La Silleta (dolomías -
($T_{A_2-3} \Delta 4$) del manto de Trevenque) y de los materiales neó-
genó-cuaternarios de la depresión de Granada.



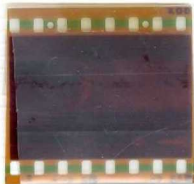
1942-IB-GD-619

Vista general de Los Alayos de Dílar desde Armilla y de los materiales posteriores a los corrimientos.



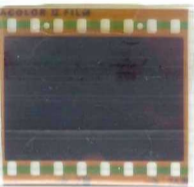
1942-IB-GD-620

Aspecto lineal del contacto entre las formaciones carbonatadas ($T_{A_2-3}^{C^2}$) ($T_{A_2-3}^{\Delta 4}$) de los mantos de Trevenque (arriba) y Víboras $T_{A_2-3}^C$ (abajo) al fondo. Delante, depósitos del Mioceno, Plioceno y Cuaternario (conglomerado Zubia) de la depresión de Granada.



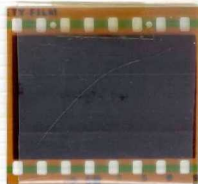
1942-IB-GD-700

Conglomerados y arenas y areniscas calcáreas bioclásticas superpuestas de la base del tramo 8 ($T_{11}^{BC} 2$) (Tortonense). Encima aparecen los limos con yesos del tramo 9 ($T_{11-2}^{BC} -B$). Es uno de los puntos de mayor potencia de los conglomerados de base. Al fondo se ven las dolomías triásicas sobre las que en general descansa el tramo de conglomerados y calcarenitas.



1942-IB-GD-701

Conglomerados y arenas de la base del tramo 8 (T_{11}^{BC1}) discordante sobre materiales béticos. En el detalle se ven enormes bloques de dolomías caídos sobre los materiales tortonenses donde quedaron englobados durante el tiempo de depósito.



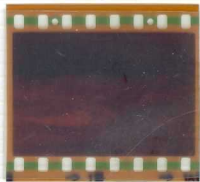
1942-IB-GD-702

Una vista del relieve que dan los limos del tramo 9 ($T_{11-2}^{Bc^2-B}$). Destaca en el relieve la altura de Montevives donde se explota celestina. Al fondo se ve Sierra Nevada en gran parte fuera ya de los límites de la Hoja de Padul.



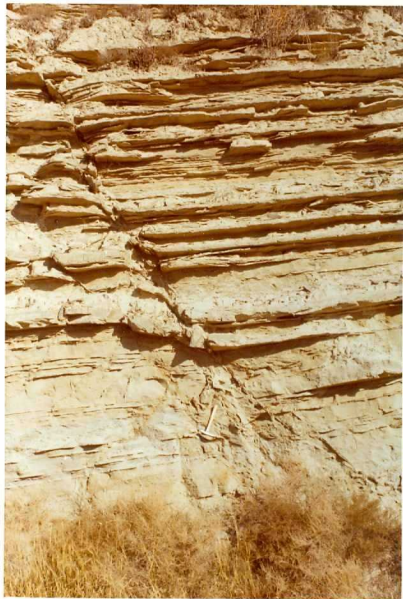
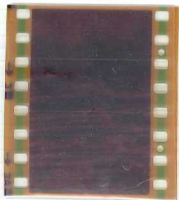
1942-IB-GD-703

Salinas de la Malá. En este punto hay importantes fracturas con salidas de aguas termales, algunas sulfídricas y con fuerte proporción en ClNa .



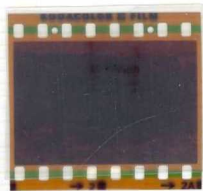
1942-IB-GD-704

La Atalaya de la Malá. El escarpe lo constituye fundamentalmente niveles de yesos y tramos con intercalaciones turdílicas. Todo el conjunto está incluido en los limos del tramo 9 ($T_{11-2}^{BC_2-B}$).



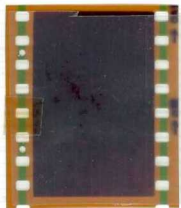
1942-IB-GD-705

Las turbiditas de la Malá incluidas en los limos del tramo 9 ($T_{11-2}^{BC^2-B}$)
Los niveles que destacan son los de areniscas. Aparece también una
falla normal de las muchas existentes en este sector.



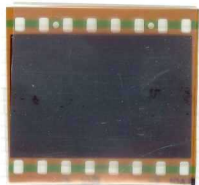
1942-IB-GD-706

Los yesos incluidos en los limos del tramo 9 ($T_{11-2}^{BC^2-B}$). En algunos casos la hidratación del yeso produce trastornos en la estratificación.



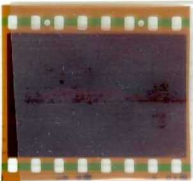
1942-IB-GD-707

Pliegues en los limos con yeso del tramo 9 ($T_{11-2}^{BC^2-B}$). Estos pliegues aparecen en numerosas canteras del sector según dos lotes definidos de direcciones de ejes.



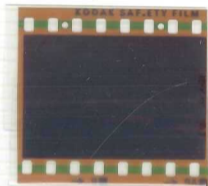
1942-IB-GD-708

La gran falla del Padul. Las dolomías triásicas levantadas al fondo. Los materiales cuaternarios se ven arrastrados sobre el plano de falla en algunos puntos.



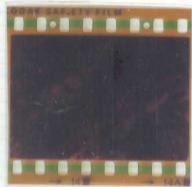
1942-IB-GD-709

La falla del Padul que limita por el sur el "horst" de la Silleta. Al fondo Sierra Nevada y en primer término limos del tramo 9 ($T_{11-2}^{BC^2-B}$).



1942-IB-GD-710

Desde el pueblo de Otura se ve al fondo las dolomías triásicas. En un plano medio se observa parte del gran cono de deyección de los materiales cuaternarios de la Zubia.



1942-IB-GD-711

Corales que aparecen intercalados en el tramo 9 ($T_{11-2}^{BC^2-B}$) de limos del Mioceno superior. Estos corales en este punto son cubiertos por un nivel de conglomerados.



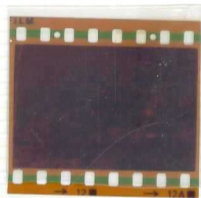
1942-IB-GD-712

Falla normal que separa las dolomías triásicas y el cuaternario en el sector SE del pueblo de Dílar. En este punto y en muchos otros, el -- cuaternario fué arrastrado por el movimiento de la falla.



1942-IB-GD-713

El sector del SE de Dílar. Se ve el contacto de los materiales béticos con los del Neógeno y Cuaternario. En primer término los limos miocenos donde se engloban los corales de la foto 1942-IB-CS0711. A la derecha está la base de los materiales miocénicos reposando sobre las dolomías. A la izquierda materiales de la "Block-Formation" y al fondo, cubierto de pinos, un cono de deyección cuaternario.



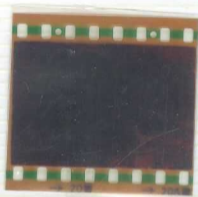
1942-IB-GD-714

En el valle del río Dílar. Detalle de la "Block-Formation" donde se puede apreciar el tamaño de algunos cantos en relación con el coche situado a la izquierda. También se aprecia una cierta estratificación.



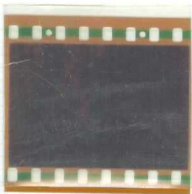
1942-IB-GD-715

La superficie que se observa en esta foto corresponde a un plano de falla tallado sobre las dolomías triásicas en su contacto con el Neógeno-Q. Esta falla en la que se ven estrías se halla cortada por otras más pequeñas cuyos escarpes dan sombra. A la derecha del martillo y - en la parte central izquierda, las anteriores fallas se ven cortadas por otras más pequeñas cuyas estrías también se observan. El conjunto ha sufrido una rotación externa que le hace perder buzamiento.



1942-IB-GD-716

Los conglomerados cuaternarios del cono de deyección de la Zubia que por su gran homogeneidad de tamaño y litología (fundamentalmente restos de calizas y dolomías triásicas) son explotadas en varias canteras.



1942-IB-GD-717

Superficies de falla inversa en los materiales cuaternarios del conglomerado Zubia. Aunque el plano de falla no se ve bien en la foto - sí se puede observar el desplazamiento de algún nivel cerca de donde está el martillo. Otras fallas inversas del mismo tipo se observan - bien en los mismos materiales.



1942-IB-GD-718 - 719 - 720

Estas tres fotos son vistas parciales de un paisaje y se ha de situar en la 1^a a la derecha y la última a la izquierda para verlo entero. Al fondo, a la derecha, se observan las dolomías de los materiales alpujarrides. Más próximo se ve el pueblo de Monachil en cuya proximidad afloran los limos del tramo 9.

Encima de Monachil aparecen los materiales de la "Block-Formation" -- que buzan hacia el NNO. En la parte central izquierda se observan los limos superiores a la "Block-Formation" cuyo contacto con esta es transicional, y por tanto el límite es realmente artificial. Sobre este tramo, en la parte izquierda de la última foto (el sector más septentrional de este paisaje), aparecen los materiales del conglomerado Alhambra, aquí ocupados por un campo de olivos.